

智能控制报告

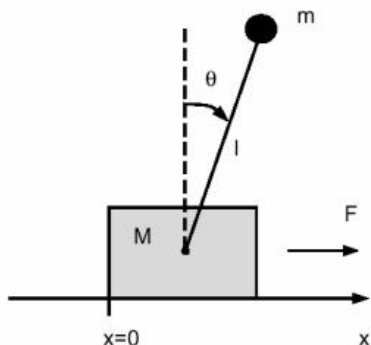
2. 专家控制

3220101111 洪晨辉

一、问题分析

倒立摆（Inverted Pendulum）是动力学和控制理论中的经典问题，常用于测试和验证各种控制算法的有效性，如 PID 控制器、状态空间方法、类神经网络、模糊控制和遗传算法等。

倒立摆系统由一个质心位于枢纽点上方的摆组成，由于重心高于支点，系统在力学上呈现不稳定状态。在没有外部控制的情况下，倒立摆会因微小扰动而倒下。为了维持其平衡，需要引入控制系统，实时监测摆杆的角度，并在其开始倾倒时调整质心位置，使摆杆保持直立。本报告着力于一个普通台车倒立摆的专家控制系统设计，如下：



其各项参数有，

参数	大小
球质量 m	0.5kg
小车质量 M	1kg
摆杆长度 l	0.5m
夹角 θ	$[0, \pi]$
重力加速度 g	9.8m/s^2
水平外力限制 F	$[-F_m, F_m]\text{N}$
小车水平位移 x	无限制

考虑其动力学，该系统具有动能：

$$T = \frac{1}{2}Mv_1^2 + \frac{1}{2}mv_2^2$$

其中， v_1 和 v_2 的广义坐标表示为

$$v_1 = \dot{x}$$

$$v_2 = \frac{d}{dt}(x + l \sin \theta) + \frac{d^2}{dt^2}(l \cos \theta)$$

则动能 T 的广义坐标表示为

$$T = \frac{1}{2}(M + m)\dot{x}^2 + m\dot{x}\dot{\theta} + \frac{1}{2}ml^2\dot{\theta}^2$$

x 及 θ 坐标下的广义力分别为

$$Q_x = F$$

$$Q_\theta = mgl \sin \theta$$

由 Lagrange 方程

$$\frac{d}{dt} \frac{\partial T}{\partial \dot{x}} - \frac{\partial T}{\partial x} = Q_x$$

$$\frac{d}{dt} \frac{\partial T}{\partial \dot{\theta}} - \frac{\partial T}{\partial \theta} = Q_\theta$$

得到倒立摆动力学约束方程

$$(M + m)\ddot{x} + ml\ddot{\theta} \cos \theta + ml\dot{\theta}^2 \sin \theta = F$$

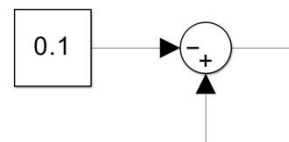
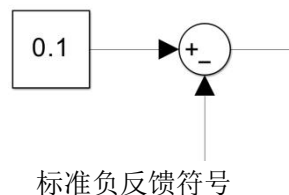
$$l\ddot{\theta} - g \sin \theta = \ddot{x} \cos \theta$$

（注：文档当中提供的动力学方程有误）

可知倒立摆可视作 FIFO 系统，因此适合采用 PID 控制算法。下设计普通 PID 及专家 PID 算法，以资对比，显示专家控制的优势所在。

二、算法设计

需要注意的是，由于该系统 F 增大会导致 θ 减小，也即具有开环正反馈根轨迹（主要原因是物理模型角度 θ 正方向选择与力方向 F 相同），本例中的所有 PID 控制参比部分符号都与《自动控制原理》所述的标准负反馈相反。经验证，将 θ 正方向规定为逆时针后，利用标准负反馈模型得到的控制结果和此报告中使用的相同。



1. 普通连续/离散 PID

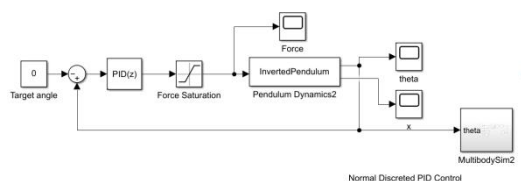
普通 PID，仅存在比例、积分及微分控制。其连续版本可视作通过模拟电路环节提供控制环反馈，

经处理偏差角度输入 $\Delta\theta$ 输出模拟量 F。而离散版本主要通过 MCU 进行数字信号的输出进行控制。对于本例而言，由于响应时间远远大于采样时间($T_s = 0.0001s$)的关系，两者区别不大。对比采用离散形式，更符合 60 年代以降现实产线的实际情况。

离散 PID 控制传递函数为有 (含滤波器系数 $N=100$) ,

$$C(z) = K_p + K_i T_s \frac{1}{z-1} + K_d \frac{N}{1 + NT_s \frac{1}{z-1}}$$

其 Simulink 模型如下:



其中，倒立摆的输出角度与要求角度进行参比，输入 PID 以输出力控制量，受电机力矩上限截断后控制倒立摆。右下为多体 3D 模型模拟。

2. 离散专家 PID

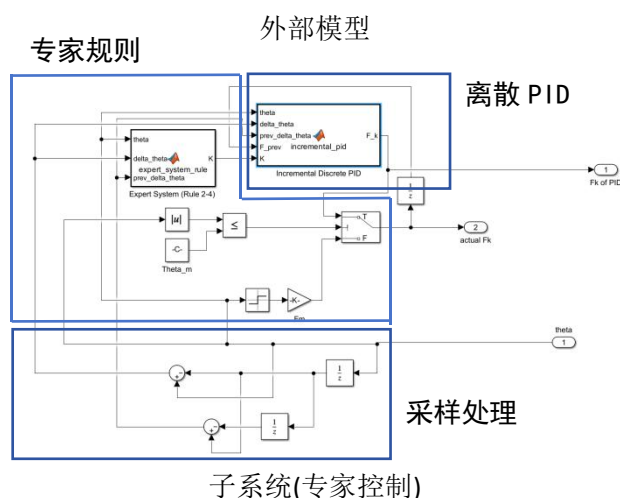
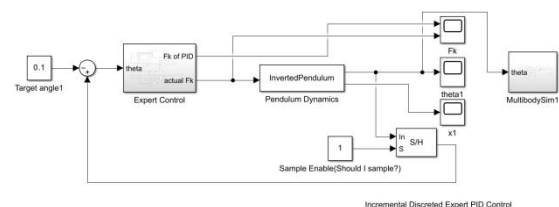
专家模型以增量形式为基础, 在离散 PID 之上增加各专家规则。其设定规则如下 (其中, $\Delta\theta(k) = \theta(k) - \theta(k-1)$) :

1. 如果 $|\theta(k)| \geq \theta_m$, $F(k) = \text{sgn}(\theta) F_m$ 。
2. 如果 $\theta_2 \leq |\theta(k)| < \theta_m$:
 1. 如果 $\theta(k) \Delta\theta(k) > 0$, 则 $K = K_b$;
 2. 如果 $\theta(k) \Delta\theta(k) < 0$:
 - a. 如果 $\Delta\theta(k) \Delta\theta(k-1) > 0$, 则 $K = 1$;
 - b. 如果 $\Delta\theta(k) \Delta\theta(k-1) < 0$, 则 $K = K_b$ 。
3. 如果 $\theta_1 \leq |\theta(k)| < \theta_2$:
 1. 如果 $\theta(k) \Delta\theta(k) > 0$, 则 $K = 1$;
 2. 如果 $\theta(k) \Delta\theta(k) < 0$:
 - a. 如果 $\Delta\theta(k) \Delta\theta(k-1) > 0$, 则 $K = K_s$;
 - b. 如果 $\Delta\theta(k) \Delta\theta(k-1) < 0$, 则 $K = 1$ 。
4. 如果 $|\theta(k)| < \theta_1$, 则 $K = 1$ 。

该离散 PID 为适配 MCU 等计算机语言处理，采用了增量形式书写：

$$F(k) = F(k-1) + K[K_p \Delta \theta(k) + \frac{T_s}{T_i} \theta(k) + \dots + \frac{T_d}{T_s} (\Delta \theta(k) - \Delta \theta(k-1))]$$

其 Simulink 模型如下:



子系统(专家控制)

其中, 外部模型表现同普通 PID 相同, 仅 PID 模块替换为专家系统。专家系统子系统由三部分组成。左上为专家规则段, 用以在饱和段将 F_k 锚定在最大值 F_m , 及在非饱和段控制外围比例参数 K 的大小。其后为 PID 算法段, 仅负责 PID 计算。下为采样行, 经滞后环节输出 $\theta(k-1)$, $\theta(k-2)$ 及参比而成的 $\Delta\theta(k)$, $\Delta\theta(k-1)$ 。参数埋设于模型工作区中。

（另：对于想要复现的人，由于 Simulink 本体并不存在较好的采样模块，该模型的采样是由 Simscape Electrical 模块做出的，需要预先加载。）

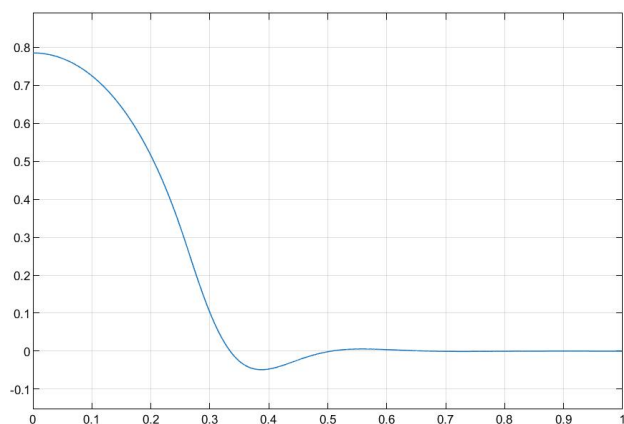
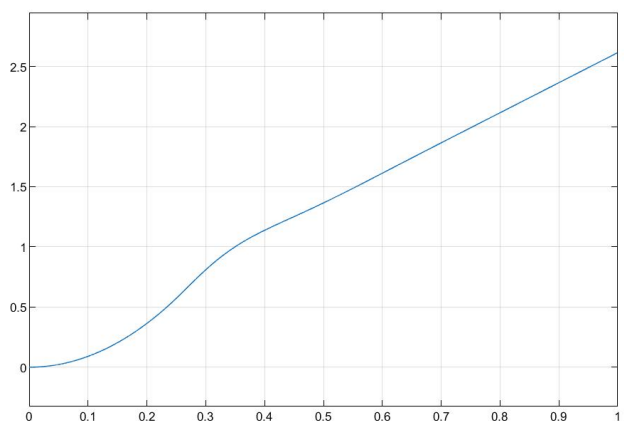
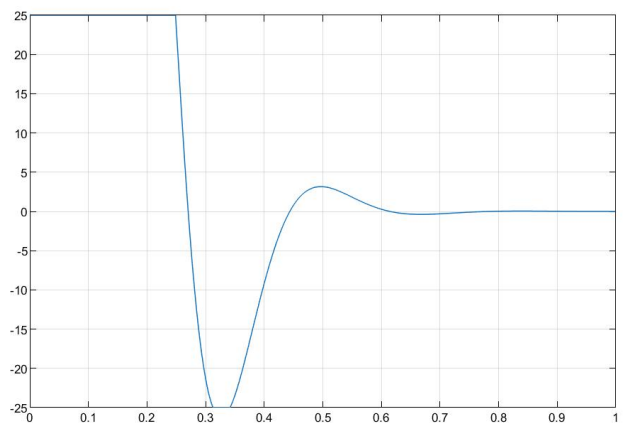
三、结果表现

1. 问题一

设 $F_m = 25\text{N}$, $T_s = 0.0001\text{s}$, $K_p = 200$,
 $T_i = 0.001\text{s}$, $T_d = 10\text{s}$ (也即 $K_i = 0.1$, $K_d = 10$),
 摆杆初始角度为 $\theta(0) = \frac{\pi}{4}$, 系统无初速度。

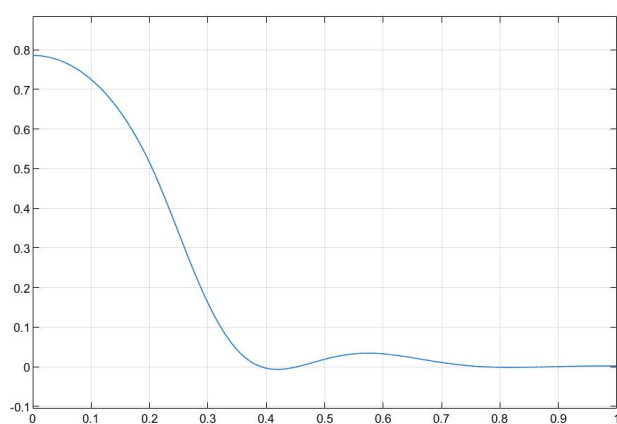
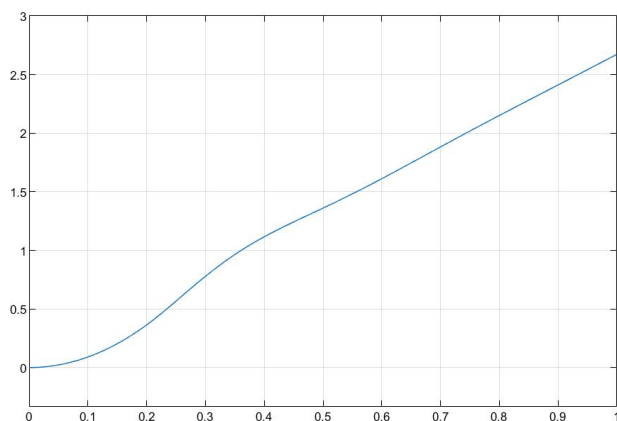
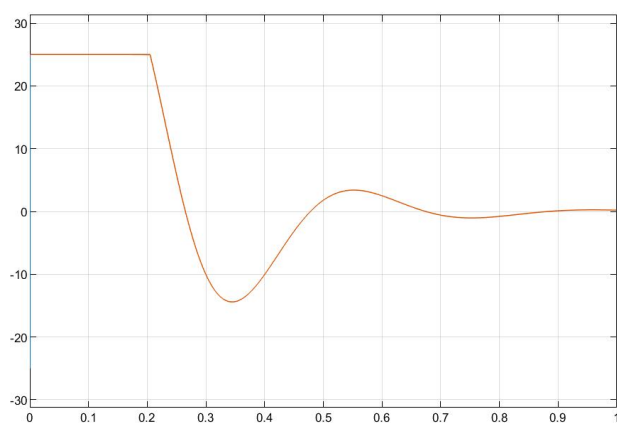
普通 PID 得到的结果如下。可以看到在约 0.5 秒左右，系统已可视为稳定。小车的 x 在轻微抖动后，化作一条斜线，说明其已开始向右做匀速直线运动。由于本例不涉及对小车位置的控制，该结果可以接受。

普通 PID

摆杆角度 θ 小车位置 x 水平力 F

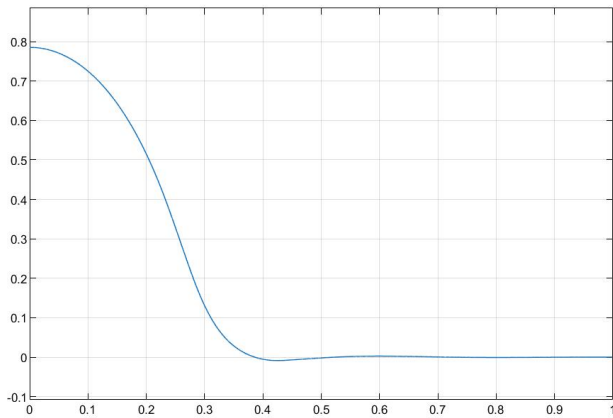
对于专家系统, 尝试 $\theta_1 = 0.1$, $\theta_2 = 0.3$, $\theta_m = 0.5$, $K_s = 1$, $K_b = 1.3$, 得到一个尽管减少了超调量, 但是调节时间显著变长的结果, 约 0.7 秒。因此, 在该问题下, 专家控制的优势似乎并没有普通 PID 显著。然而, 对于此专家系统而言, 如果对该题设限制进行改良, 使得 K_s 可以大于 1, 我们仍然能够调整参数, 以期达到更好的控制效果。

专家 PID (未改良)

摆杆角度 θ 小车位置 x 水平力 F

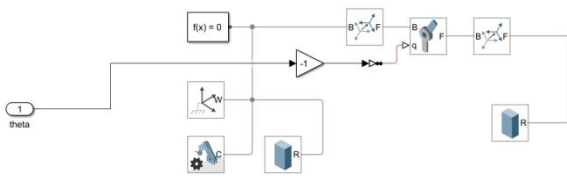
经过观察专家规则, 发现 θ_1 作为小偏差范围内故意引入的修正量, 其值过大, 导致出现其无法调节而成的巨大震荡峰 (且具有不管怎么改其他参数, 都能将调节时间稳定在 0.7 秒的神奇性质), 因此需要减小; θ_m 过大, 导致系统无法快速响应, 因此要适当减小; K_s 作为中等偏差内的控制增益太小, 导致力变化不够迅速, 需要调大。经过修整后, 更换参数为 $\theta_1 = 0.007$, $\theta_2 = 0.24$, $\theta_m = 0.42$, $K_s =$

4, $K_b = 2$ 。再次进行仿真，得：

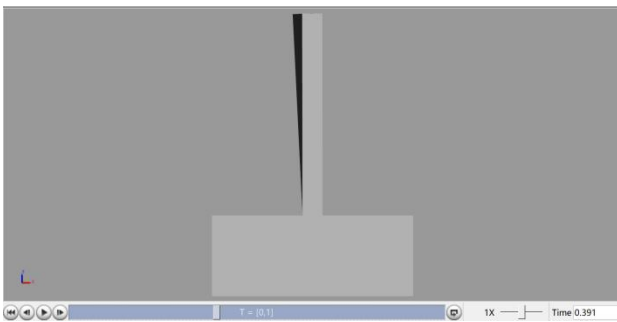


摆杆角度 θ

可看到效果显著改善，不仅超调量远远小于普通 PID 结果，且调节时间被缩减至 0.4 秒左右。这在 Simscape Multibody 的 3D 仿真中也可一观。此子模块树有：



如下图所示，在 0.391 秒处，利用专家 PID 的倒立摆已基本完成控制（灰色），而利用普通 PID 的摆杆仍然存在超调量，需要后续过程的进一步修正。

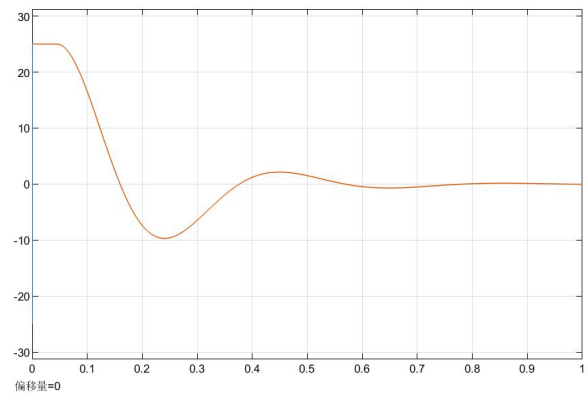
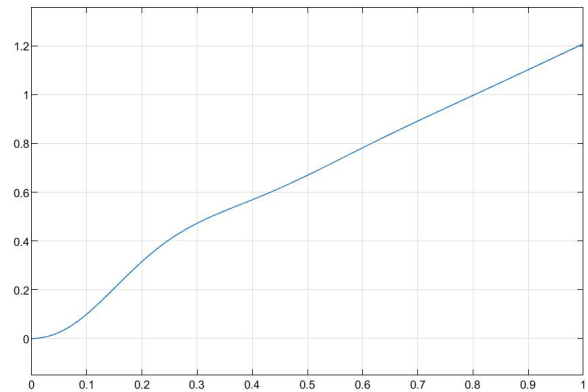
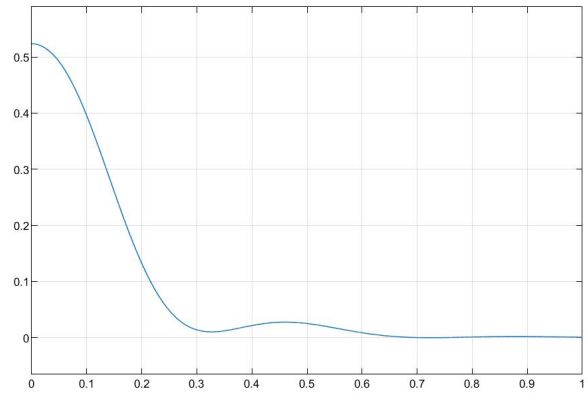


2. 问题二

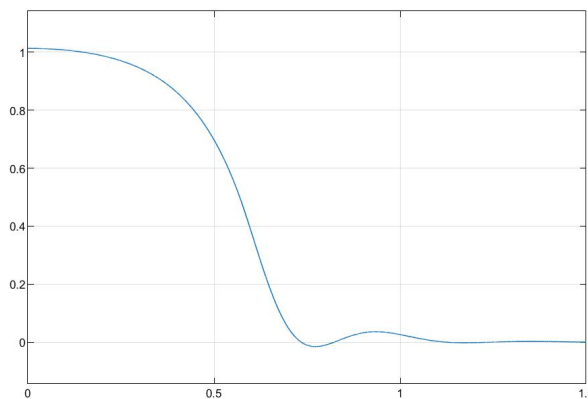
经测试，该问题可以分类讨论为三种情况：

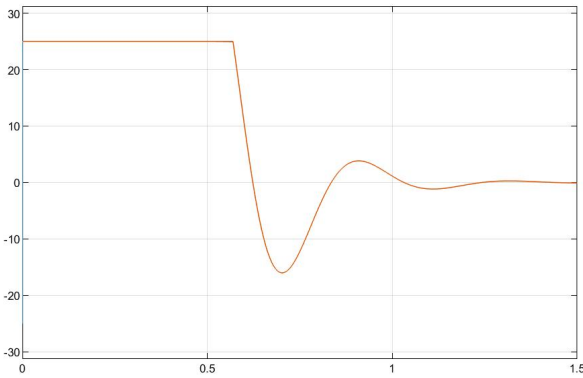
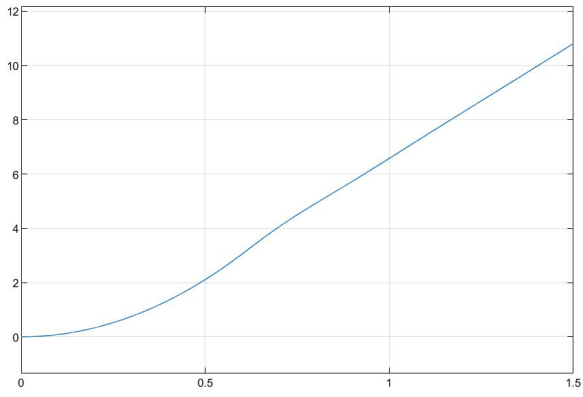
1. F_m 内可调整

静力分析，在 $F_m = 25N$ 时，带入动力学方程（此时 $\dot{\theta} = \ddot{\theta} = 0$ ），得 $\theta(0)_{max} = 59.54^\circ$ 。也即在该角度内，利用专家 PID 算法均可调整。在实操中，原本打算改换 θ_1 等参数，但实际发现用原本参数就已经足够好，因此为对比方便，不再改换。



$$\theta(0) = \frac{\pi}{6}$$



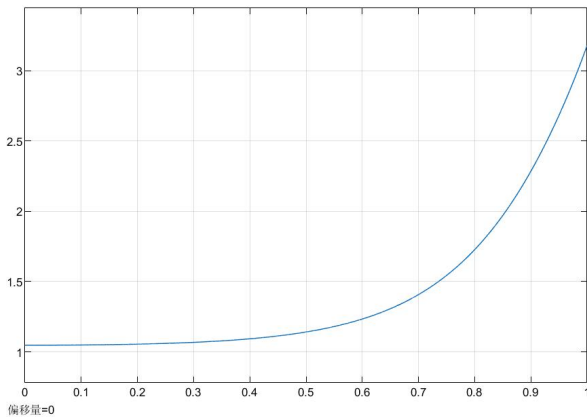


$$\theta(0) = \frac{\pi}{3.1}, \text{ 处于不可控边缘}$$

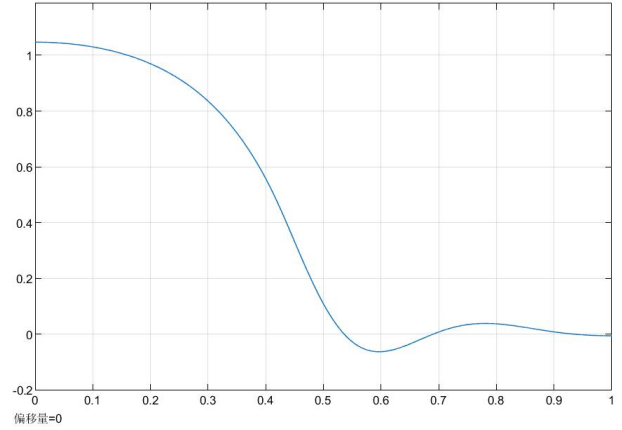
2. F_m 内不可调整, 但角度未超过 $\frac{\pi}{2}$ 。

如 $\theta(0)$ 超过 59.54 度, 则即使 F_k 一直维持 25N, 也无法将 θ 调回 0。当其并未超过 90 度时, 可通过增大 F_m 的方式加以控制。

例如, 对于正好处于不可控边缘的 60 度, 只需要将 F_m 改为 30N 即可:

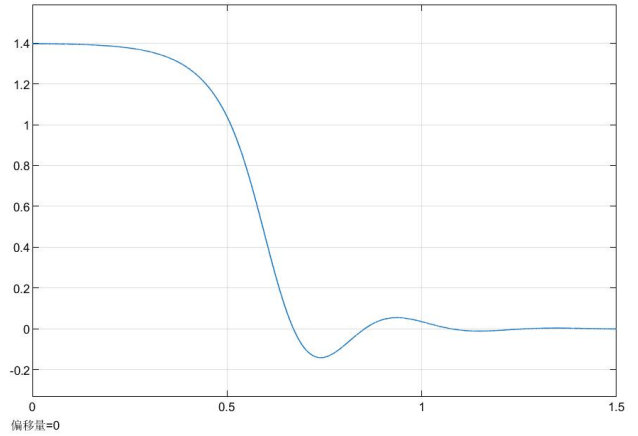


$F_m = 30N$, 成功飞了出去



$F_m = 30N$, 可控

即使对于非常刁钻的角度, 譬如 80 度, 通过改大 $F_m = 85N$ 也可以实现控制。当然, 参数需要相应变更, 主要是更改 $\theta_m = 1$, $K_b = 3$, 使得其能够稳定, 否则会反向飞出法线, 永不回头。



$$\theta(0) = \frac{4\pi}{9}$$

3. F_m 内不可调整, 且角度超过 $\frac{\pi}{2}$ 。

由 1 可知 (推导过程已略), $\theta(0)_{max}$ 同 F_m 的关系为:

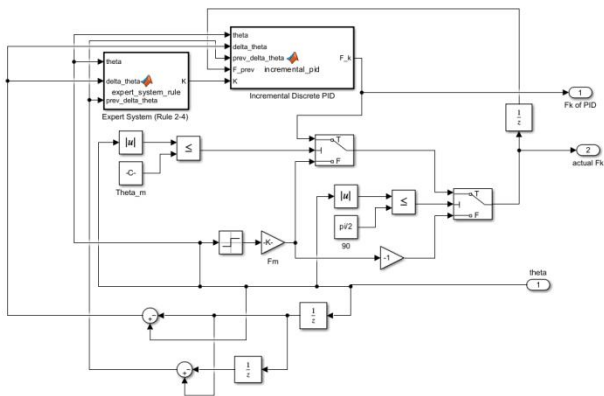
$$\theta(0)_{max} = \tan^{-1} \frac{F_m}{g(M+m)}$$

知 $F_m \in R^+$ 时, $\theta(0)_{max} \in [0, \frac{\pi}{2}]$ 。因此, 当

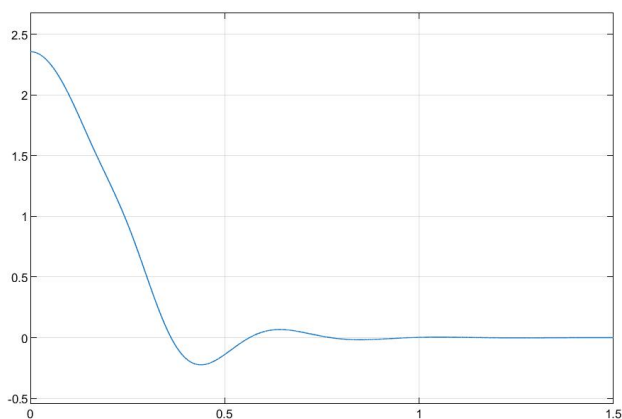
$\theta(0)_{max}$ 大于 $\frac{\pi}{2}$ 时, 仅改变力上限爱莫能助。此时, 应当同时改变专家 PID 规则, 使得摆杆在地平时时可以成功上翻。

最简单地, 增加如下专家规则:

如果 $|\theta(k)| > \frac{\pi}{2}$, 则 $F(k) = -\text{sgn}(\theta) F_m$ 。



新专家控制的 Simulink 实现



$$\theta(0) = \frac{4\pi}{9}$$

便已经可以将本来在下半平面的摆上翻并控制在 0 位置。

综上，该专家控制能控的角度有限——仅在 59.5 度内。如果要很好地控制剩余区域的角度，则需要更改专家规则，以适应各种实际情况。

四、后记——神奇问题

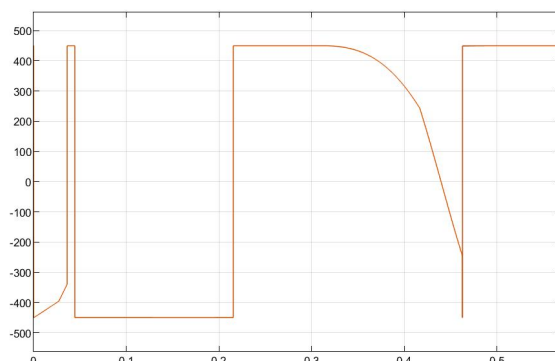
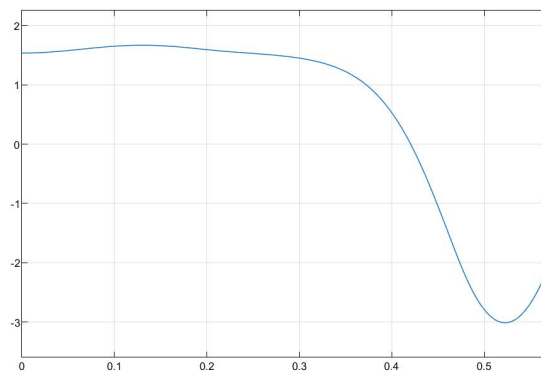
1. 关于 $\frac{\pi}{2}$

问题二的回答刻意回避了一个问题——那么，如果 $\theta(0) = \frac{\pi}{2}$ 怎么办？更进一步地说，**所有处在 $\frac{\pi}{2}$ 周围的角度是不是也能被轻松控制**？还是另有情况？答案是，这一扇区的角度很难控制，需要进一步修改专家规则。为什么？

考虑函数

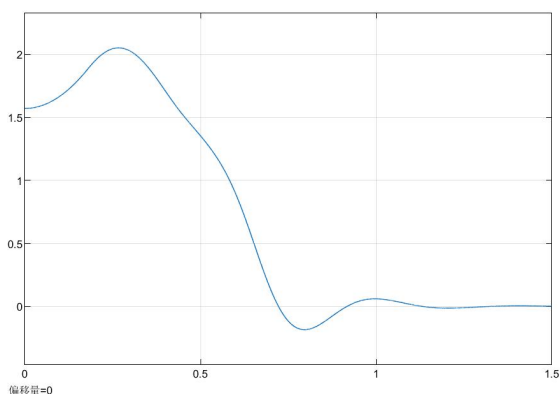
$$\theta(0)_{\max} = \tan^{-1} \frac{F_m}{g(M+m)}$$

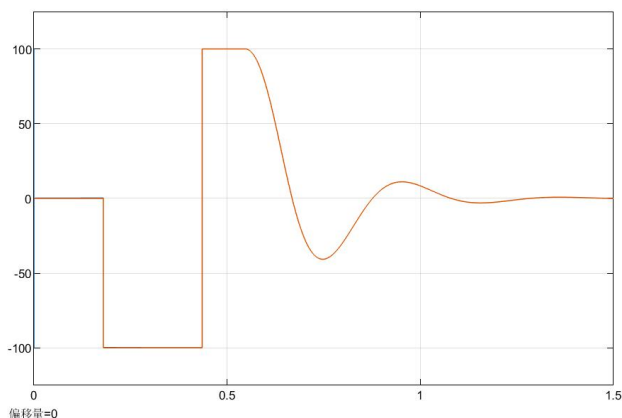
.....的性质。尽管在 80 度时， F_m 只需要为 85N 就可以轻松控制，但当角度为 88 度时，看起来位置区别不大，然而 F_m 却起码需要 450N，且越靠近 90 度，需要的力越接近无穷。首先，不可能存在能提供无上限的力的电机；其次，在如此大的力面前，施力时间过长将导致摆杆过调整，最终让其反方向飞出。



F_m 时间太长。注意：调节任何参数都无用

而 $\theta(0) = \frac{\pi}{2}$ 更为棘手。该角度不论施加多大的力，由于方向和摆杆方向相同，都甚至无法维持在本位，遑论控制到 0 度。对于这类角度，笔者能想到的办法包括在该角度时**先不施加力，使其自然落下，到一定角度后再施加力**，化为问题二的 3 来控制。





这样，即使是 $F_m = 25N$ ，也可以翻上去。视频附在文件夹中

```
function y = fcn(u, theta)
    persistent flag % Persistent variable to retain its value between function calls
    if isempty(flag) % Initialize flag on first call
        flag = 0;
    end

    y = 0; % Default value for y

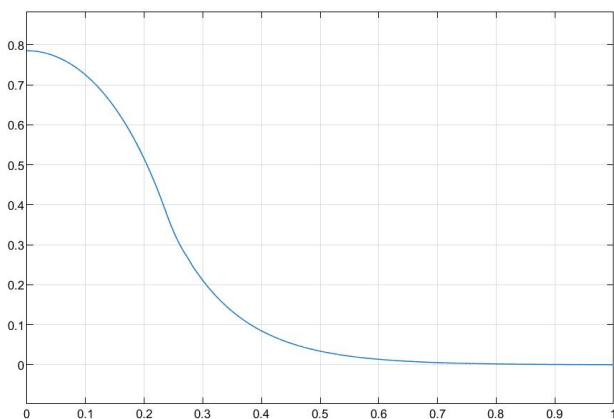
    if theta > 3 * pi / 5
        y = -u;
        flag = 1;
    elseif theta <= 3 * pi / 5 && theta >= pi / 2.5
        if flag == 0
            y = 0;
        elseif flag == 1
            if theta < pi / 2
                y = u;
            elseif theta > pi / 2
                y = -u;
            end
        end
    end
end
```

更改后的增设专家规则

2. 关于大 K

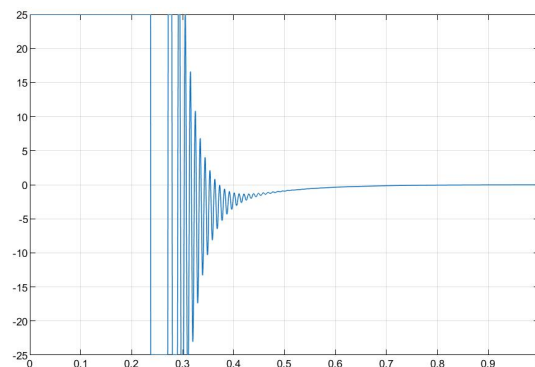
有没有好奇过为什么本题强制设置了 $K_s < 1$? 因为对于这样的系统，**不断增大外围的 K 将导致控制的效果变得“越来越好”**。我们拿普通 PID 说明这一点。

将原来的 K_p, K_i, K_d 全部变为原来的十倍，对应于 $K = 10$ 。



好像变得更加平滑了？过冲也全部消失了。当我们将其改为 100 倍同理，且变得更加顺滑了。

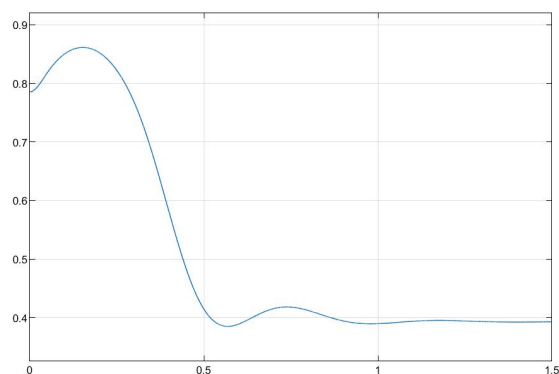
欸？这是不是意味着，对于任何问题，我们其实只需要无脑地增大 K 就可以了？并不是。我们来看看 $K=100$ 时，控制力的情况。



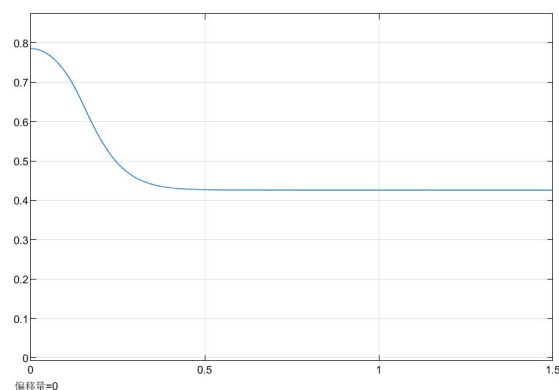
哦……很遗憾， F_K 产生了高频的振铃信号。该种信号即使没有被电路、机械系统滤除，也并不利于电机控制。因此， K 需要取合理的值。

3. 关于终角度不是 0

在控制了这么多种情况后，我们自然会产生疑问：如果终角度不是 0，PID 还可以胜任倒立摆控制任务吗？答案是……大概可以。反正专家 PID 可以。



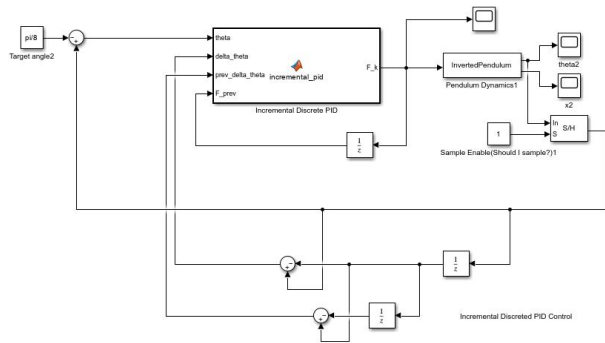
$$\text{专家, } \theta_{\text{desire}} = \frac{\pi}{8}$$



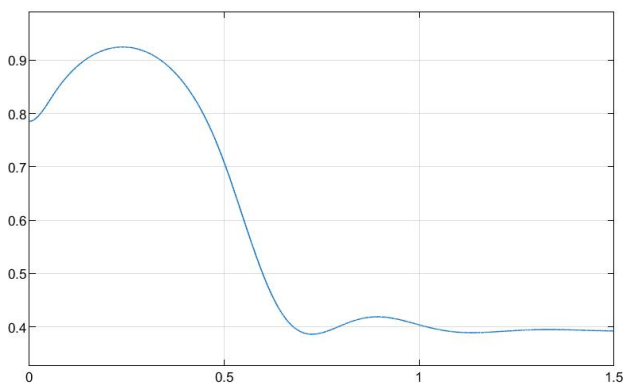
$$\text{普通, } \theta_{\text{desire}} = \frac{\pi}{8}$$

……然而很显然地，普通 PID 存在一个固定差值，并没有很好地收敛。经过实验，当增大 K 时，这个固然存在的误差会越来越小，直至“看上去”似乎消失。然而遗憾的是，这一固有误差并没有实际消失。这有可能是由系统的非线性特性导致的。

不过吊诡的是，当改用增量的离散 PID 时，该系统便能被更好地控制了：



增量离散 PID



$$\text{增量, } \theta_{\text{desire}} = \frac{\pi}{8}$$

在专家控制中，所采用的是增量离散 PID，其与普通的 PID 在数学上并不等价。离散 PID 控制器直接计算控制器的输出，

$$u[k] = K_p e[k] + K_i \sum_{i=0}^k e[i] + K_d (e[k] - e[k-1])$$

而离散增量 PID 控制的是增量。

$$\Delta u[k] = K_p (e[k] - e[k-1]) + K_i e[k] + K_d (e[k] - 2e[k-1] + e[k-2])$$

$$u[k] = u[k-1] + \Delta u[k]$$

这一核心区别影响了两者的控制效果。然而，本作业所述的是“与普通 PID 的区别”，因此在对比的时候，仍然采用与普通 PID 对比的方式。

4. x 能控制吗？

答案是，能。只需要在角度环的基础上再加设

位置环即可。是为双环系统。当然，环路不一定需要利用 PID，还可以采用别的方法，但是这已经超出了本报告所要讨论的内容，因此不再陈述，读者可自行寻找论文。